

科技大数据知识图谱

杜一

中国科学院计算机网络信息中心



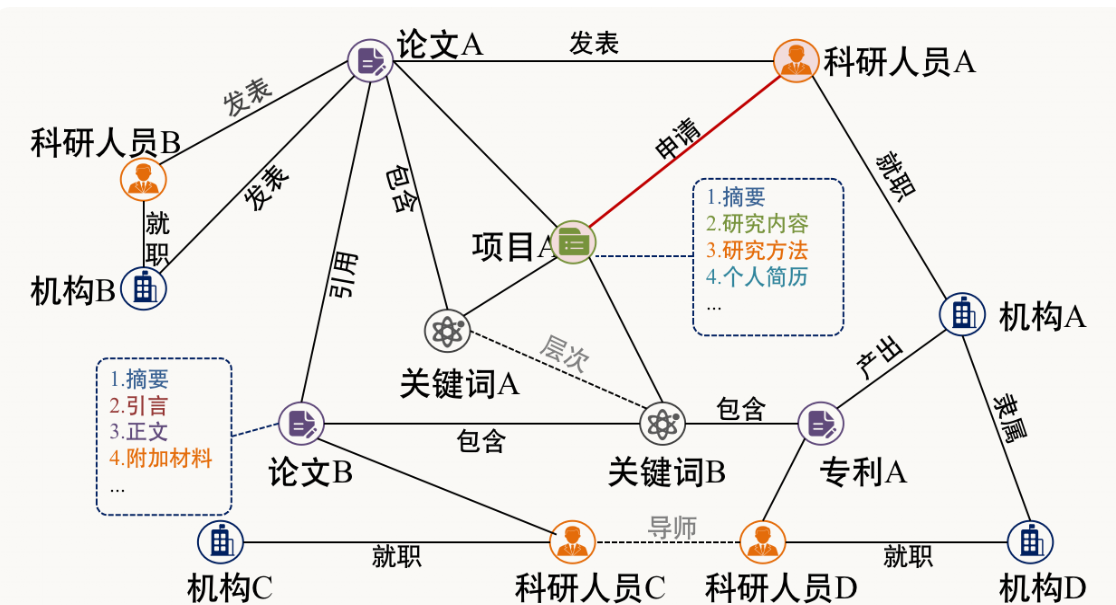
研究背景：科技管理(管理科学)需求与大数据(信息科学)的交叉背景

5亿+篇
论文报告

100+EB
科学数据

500万
项目申请

科技精细化决策面临挑战：如何从海量**数据**中，发现辅助决策的**知识**



科研实体(**亿级**)与关系(**百亿级**)
构成的大规模语义网络

- 实体: 学者、机构、项目、论文等
- 关系: 合作、隶属、引用、师承等

科技大数据知识图谱可针对**科技决策精细化需求**，给出**可解释性的推荐**

国家自然科学基金大数据知识管理服务平台



基金委原有信息系统

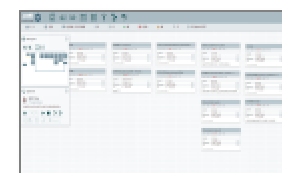
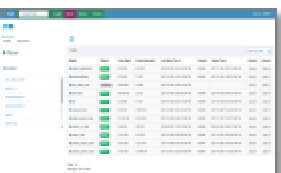
数据量增大，原有数据库无法满足存储、计算需求

数据孤岛，降低了数据之间连通并发挥更大作用的空间

原有系统不支持更加深入的分析与挖掘（**知识图谱**）

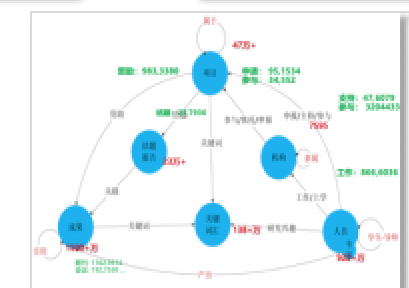
一套平台

构建了一套大数据**全栈技术平台**，为基金大数据的采集、存储、分析、检索与应用等服务提供了分布式、可扩展的存储与计算环境。



一张图谱

全面升级基金数据知识模型，建立“**机构-项目-人员-成果-关键词**”的知识图谱，打破数据孤岛格局，形成面向服务的数据湖。



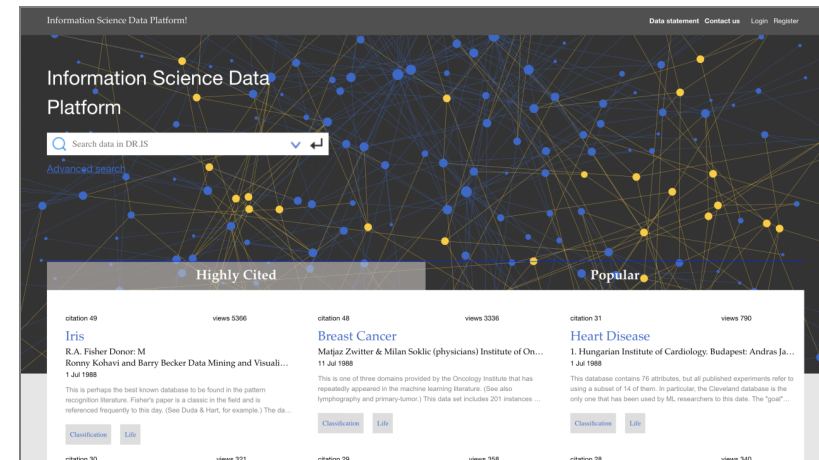
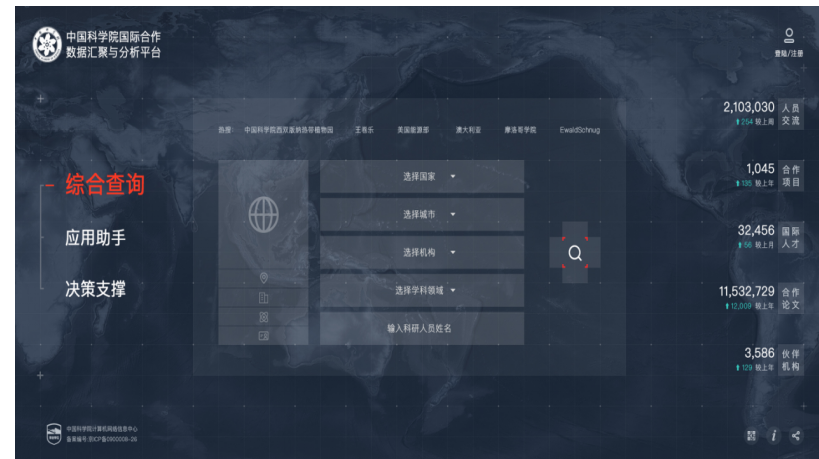
一批应用

基于统一的服务接口，建成知识服务门户、多维统计、网络挖掘、交叉预测、专家画像等示范应用，形成了“**口同径、数同源、能洞察**”的大数据应用新能力。



接口累计服务3亿+次

科技领域知识服务平台



中科院国际合作数据汇聚与分析平台

烟草科技知识图谱服务平台

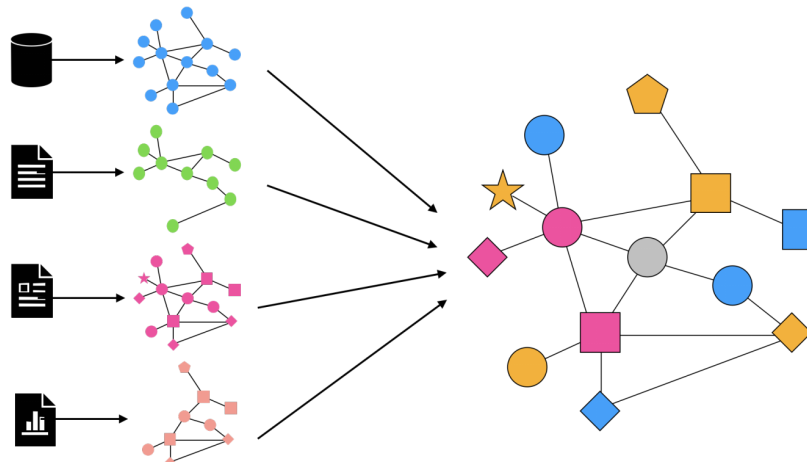
Information Science Data Platform

科技领域知识服务平台



“构建-使用-拓展”的知识图谱技术，在科技大数据知识图谱辅助决策时面临特殊挑战

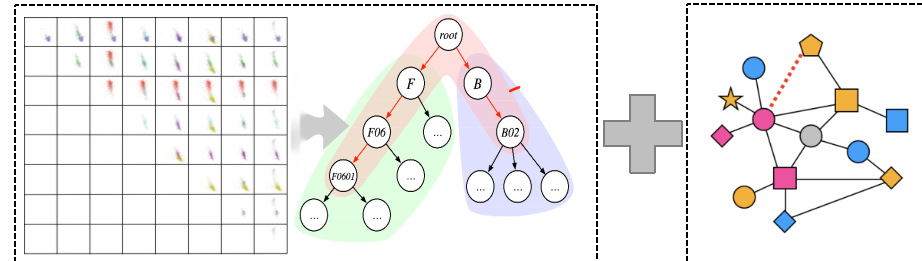
“建” 图谱



科技情报大数据存在大量人名、概念的歧义，使得知识图谱建不准

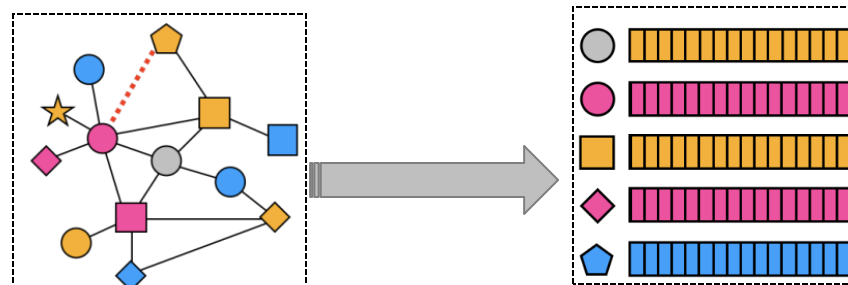
“用” 图谱

科技管理复杂精细，使得知识图谱与科技决策需求结合难



“拓” 图谱

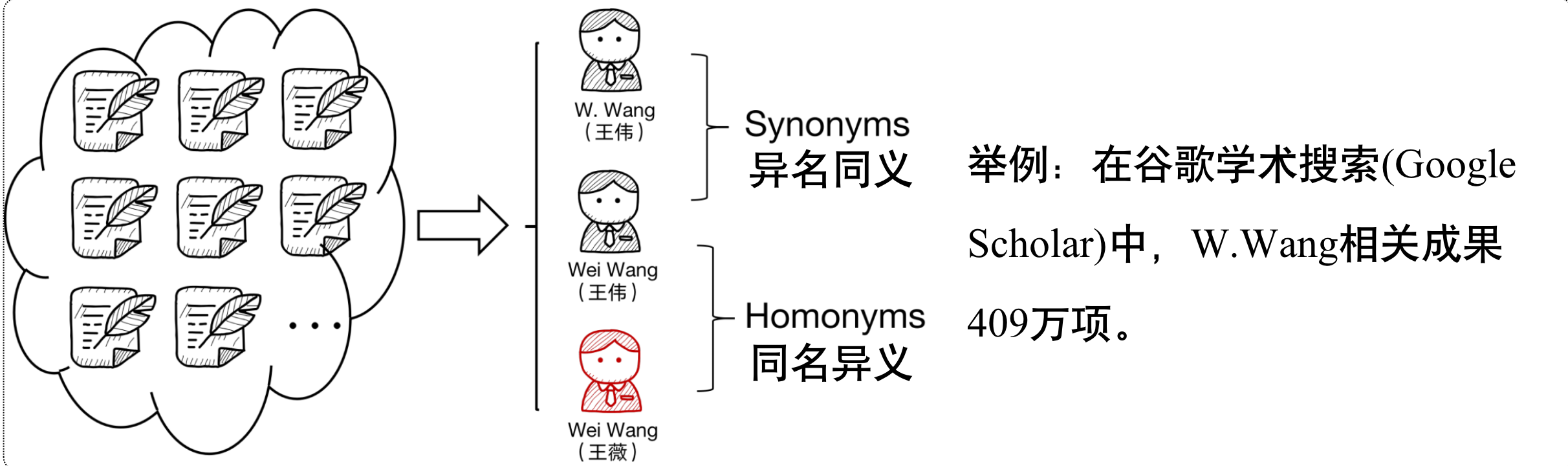
知识图谱结构本身的非度量特性，使得不同领域的扩展难



工作1. “建图谱” - 知识图谱构建过程中的人名与概念消歧

难点：海量科技情报数据中人名、概念等实体的表达方式多样

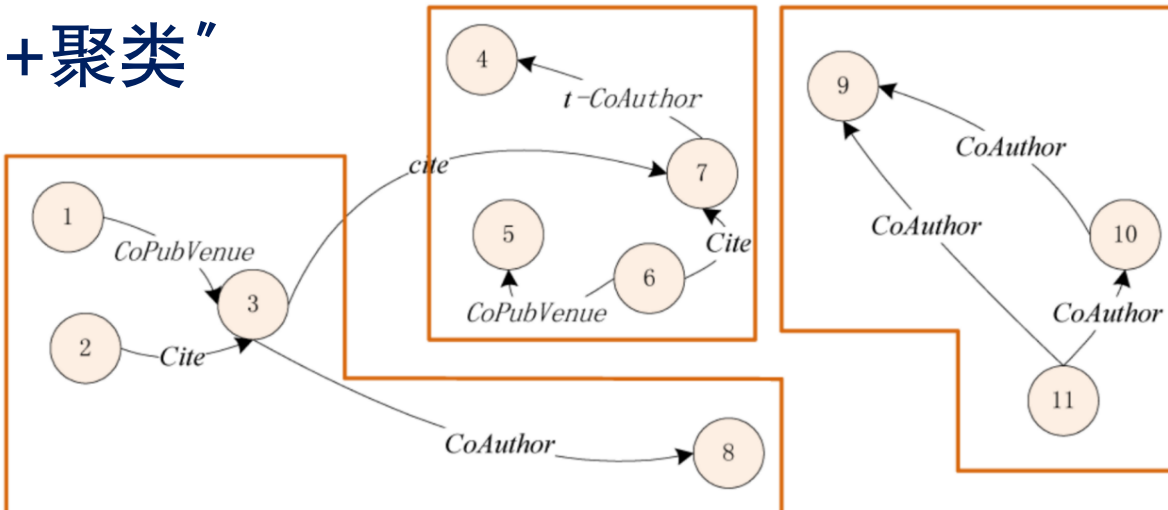
2亿科研论文，涉及10亿人次姓名，上百亿次机构与关键词，准确消歧难度大



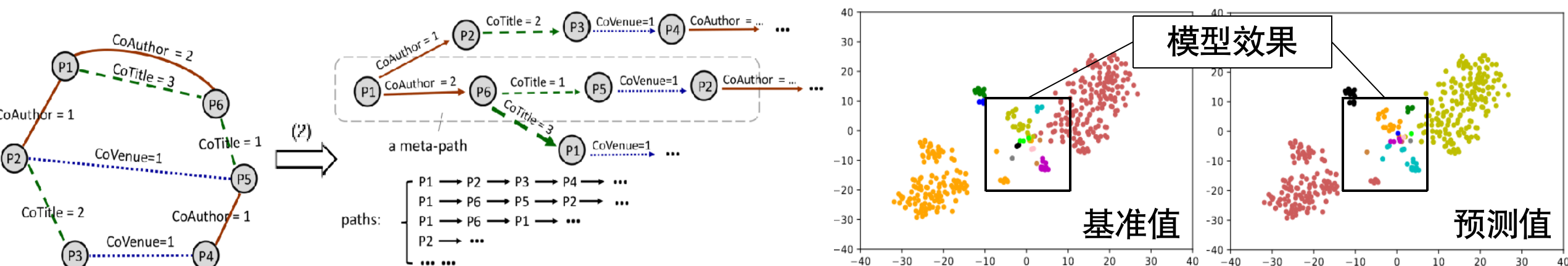
提出基于知识表示与聚类的消歧模型TGNN

将科技大数据中的歧义问题定义为“表示+聚类”

- 对于 M 项待消歧的人名与概念
 - Input: $D_a = \{p_1^a, p_2^a, \dots, p_m^a\}$
 - Output: $C^a = \{C_1^a, C_2^a, \dots, C_k^a\}$



在metapath2vec基础上，引入领域知识定义游走概率，进行图表示学习后聚类



模型在多个学术知识图谱中进行验证，并取得了较好的效果。

TABLE I
 THE PERFORMANCE OF DIFFERENT METHODS ON AMINER DISAMBIGUATION DATASET

| Name | Our method | Component | Zhang et al. 2018 [1] | Xu et al. 2018 | Zhang et al. 2017 [5] | DeepWalk | LINE | Metaph2Vec | Hin2Vec | GraphSAGE |
|--------------|--------------|-----------|--------------------------|-------------------|--------------------------|----------|-------|------------|--------------|-----------|
| Ajay Gupta | 0.750 | 0.329 | 0.568 | 0.552 | 0.618 | 0.370 | 0.578 | 0.298 | 0.684 | 0.654 |
| Alok Gupta | 1 | 0.690 | 0.689 | 0.892 | 0.590 | 0.582 | 0.835 | 0.663 | 0.734 | 0.651 |
| Bin Yu | 0.696 | 0.292 | 0.431 | 0.585 | 0.614 | 0.490 | 0.475 | 0.354 | 0.490 | 0.441 |
| David Cooper | 0.900 | 0.327 | 0.737 | 0.884 | 0.931 | 0.737 | 0.833 | 0.833 | 0.931 | 0.862 |
| David Nelson | 0.944 | 0.219 | 0.750 | 0.735 | 0.556 | 0.353 | 0.523 | 0.788 | 0.635 | 0.710 |
| Fei Su | 1 | 0.648 | 0.933 | 0.630 | 0.941 | 0.684 | 0.721 | 0.930 | 0.917 | 0.948 |
| Hao Wang | 0.604 | 0.086 | 0.403 | 0.557 | 0.543 | 0.382 | 0.400 | 0.420 | 0.624 | 0.192 |
| Jie Tang | 0.982 | 0.883 | 0.657 | 0.522 | 0.910 | 0.738 | 0.432 | 0.902 | 0.825 | 0.741 |
| Thomas Wolf | 0.860 | 0.502 | 0.703 | 0.522 | 0.352 | 0.320 | 0.357 | 0.390 | 0.516 | 0.710 |
| Yang Wang | 0.548 | 0.118 | 0.273 | 0.574 | 0.409 | 0.171 | 0.211 | 0.310 | 0.443 | 0.204 |
| Avg. | 0.786 | 0.507 | 0.715 | 0.681 | 0.680 | 0.563 | 0.606 | 0.643 | 0.629 | 0.678 |

TABLE II
 THE PERFORMANCE OF DIFFERENT METHODS ON CITESEEX DISAMBIGUATION DATASET

| Name | Our method | Component | Zhang et al. 2018 [1] | Xu et al. 2018 | Zhang et al. 2017 [5] | DeepWalk | LINE | Metaph2Vec | Hin2Vec | GraphSAGE |
|------------|--------------|-----------|--------------------------|-------------------|--------------------------|----------|-------|------------|---------|-----------|
| A Kumar | 0.648 | 0.392 | 0.412 | 0.443 | 0.307 | 0.367 | 0.389 | 0.478 | 0.498 | 0.369 |
| C Chen | 0.442 | 0.091 | 0.299 | 0.437 | 0.384 | 0.155 | 0.239 | 0.274 | 0.431 | 0.248 |
| D Johnson | 0.736 | 0.454 | 0.745 | 0.696 | 0.667 | 0.487 | 0.613 | 0.595 | 0.590 | 0.729 |
| J Martin | 0.731 | 0.512 | 0.649 | 0.495 | 0.481 | 0.483 | 0.529 | 0.567 | 0.665 | 0.596 |
| J Robinson | 0.695 | 0.360 | 0.384 | 0.626 | 0.369 | 0.498 | 0.450 | 0.507 | 0.540 | 0.554 |
| J Smith | 0.889 | 0.201 | 0.613 | 0.824 | 0.753 | 0.296 | 0.671 | 0.796 | 0.717 | 0.657 |
| M Brown | 0.802 | 0.368 | 0.710 | 0.590 | 0.498 | 0.526 | 0.617 | 0.729 | 0.560 | 0.752 |
| M Miller | 0.944 | 0.578 | 0.730 | 0.913 | 0.885 | 0.566 | 0.621 | 0.621 | 0.639 | 0.895 |
| S Lee | 0.602 | 0.078 | 0.401 | 0.573 | 0.553 | 0.121 | 0.417 | 0.417 | 0.560 | 0.411 |
| Y Chen | 0.777 | 0.124 | 0.441 | 0.762 | 0.770 | 0.446 | 0.664 | 0.665 | 0.402 | 0.436 |
| Avg. | 0.698 | 0.288 | 0.538 | 0.646 | 0.561 | 0.429 | 0.507 | 0.547 | 0.563 | 0.523 |

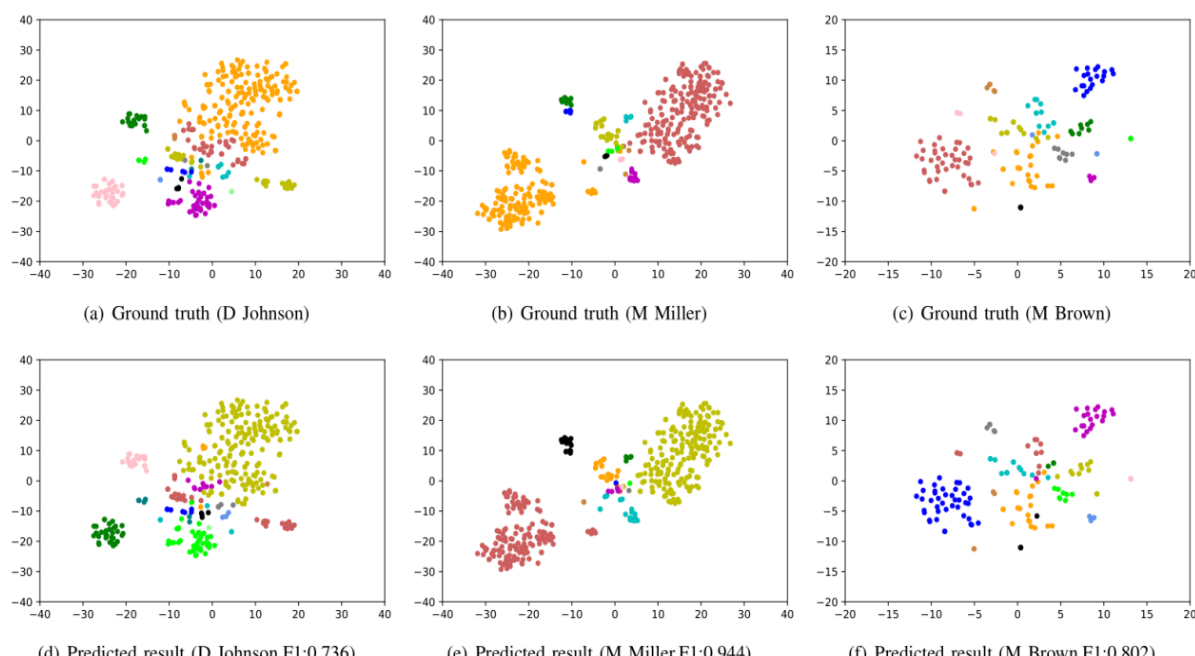


Fig. 3. t-SNE Visualization of embedding spaces on publications of three different names (D Johnson, M Miller, M Brown). Each color in (a), (b), (c) denotes a ground truth cluster which contains publications of a distinct author entity, while each color in (d), (e), (f) denotes a predicted cluster generated by our graph enhanced hierarchical agglomerative clustering.

工作2. “用图谱” - 科技文本交叉性研判

难点：科技文本的复杂性与研究领域的多样性

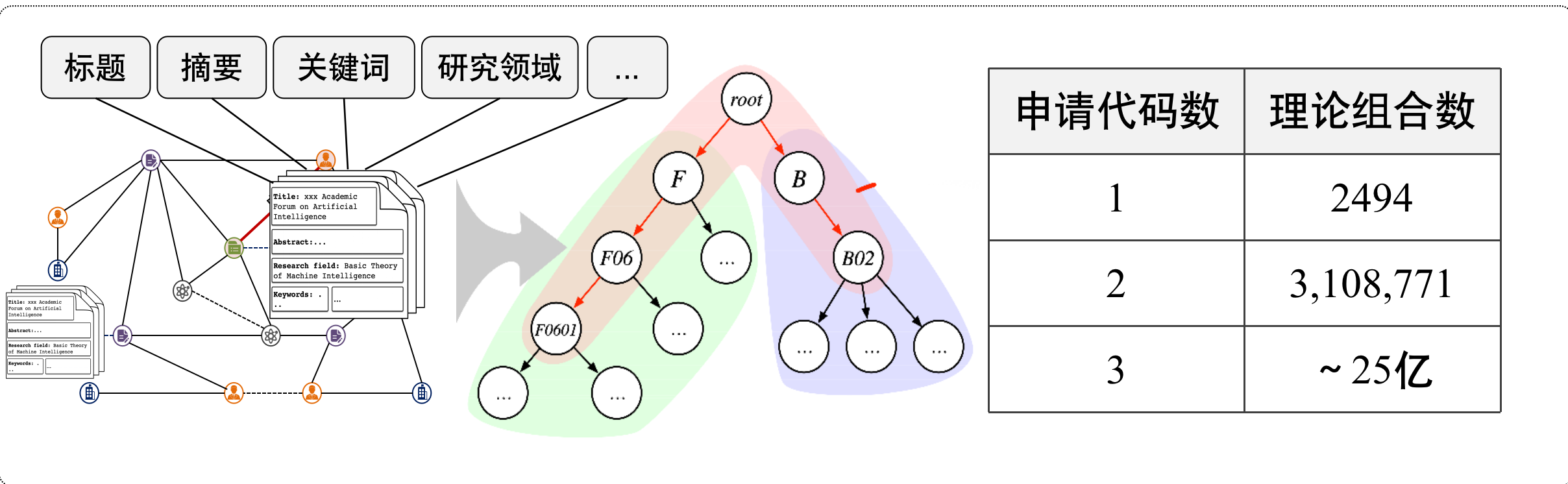
如何将复杂科技文本信息与科技大数据知识图谱融合，准确分类到上百万交叉组合中

»»» “用图谱”

“建图谱”



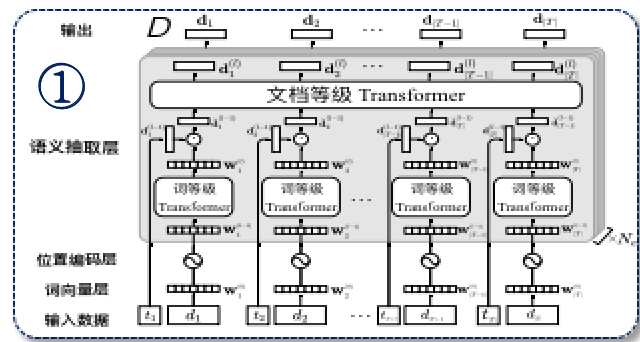
»»» “拓图谱”



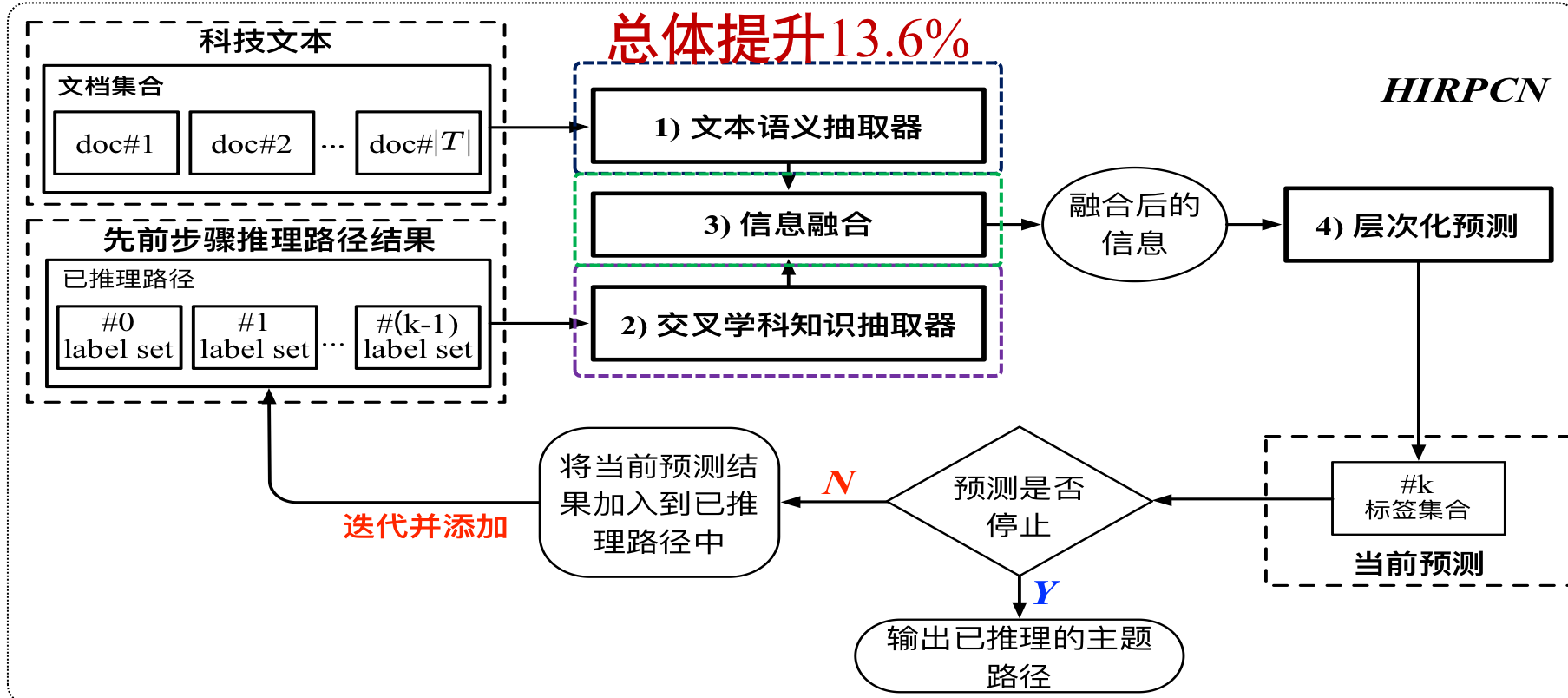
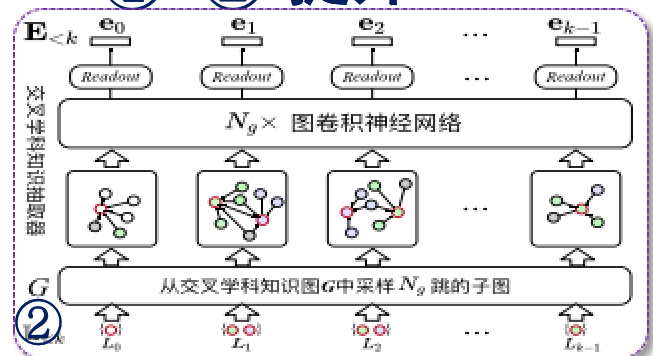
创新点:基于科技知识图谱的多标签、多粒度交叉学科分类模型

$$\Omega(D, G, \gamma, \mathbb{L}_{<k}; \Theta) \rightarrow L_k, \quad P(\mathbb{L}|D, G, \gamma; \Theta) = \prod_{k=1}^{H_A} P(L_k|D, G, \gamma, \mathbb{L}_{<k}; \Theta)$$

科技大数据知识图谱



①+②: 提升5.9%



模型效果

预测出的交叉代码

Discipline #1 : C060703 (Biological Data Integration and Biological Big Data)

Discipline #2 : F0305 (Biological and Medical Information Systems and Technology)

Title:

遗传变异驱动的肿瘤耐药相关非编码RNA深度挖掘算法及在肺癌中的功能研究
Drug Resistance Encode Deep Mining Algorithm Lung Cancer

Keywords:

人非编码RNA肿瘤化疗耐药深度挖掘算法生物大数据
Encode Deep Mining Algorithm Bio Big Data Mining

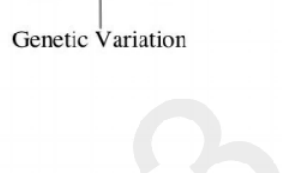
Abstract:

肿瘤细胞对化疗药物产生耐药性是肿瘤治疗失败的重要原因。长链非编码RNA lncRNA 可以参与肿瘤耐药调控网络，为挖掘关键治疗靶点和解析肿瘤耐药机制提供了新的机遇。但利用多组学肿瘤大数据系统预测肿瘤耐药相关 lncRNA 遗传变异并将其用于肿瘤病人的化疗用药指导仍是挑战。本项目在前期工作的基础上，将大数据分析算法开发和实验验证相结合，系统整合肿瘤测序数据、基因组注释、数据肿瘤组学特征和临床用药数据，构建完整的肿瘤化疗耐药

Algorithm

Research of Field:

生物数据与信息挖掘与共享
Bio data Information Mining



交叉代码预测

主题代码

真实主题: H - 医学科学

额外补充: B - 化学科学

标题

环境应激与化学致癌

关键词

环境毒理

化学致癌

...
NRF1/2

研究领域

卫生毒理

摘要

...围绕砷中毒，将实验室研究与流行病学调查相结合，率先揭示慢性砷暴露人群氧化-还原稳态失衡是砷代谢影响砷致癌的介导事件；发现成体干细胞的“旁观者”效应及NRF2作为应激网络枢纽分子在砷致癌过程中的重要作用...探究NRF1在化学物致肺癌中的作用与机制，构建基于NRF1/2-ARE通路的化学致癌预防策略和方法。

主题代码

真实主题: A - 数理科学

额外补充: E - 工程与材料科学部

标题

基于多级结构微纳米纤维...非织造布高效空气过滤材料...

关键词

空气过滤

熔喷

...
力学机理

研究领域

工业流体力学

摘要

微纳米纤维非织造布作为高效空气过滤材料...将仿生结构引入纤维，设计、制备由多级结构微纳米纤维形成的非织造布正在成为提升高效空气过滤材料性能...。本项目通过设计...形貌以优化微纳米...的目标，通过模拟...；同时通过研究...运动来分析...过滤性能。最后，以获...主要目标，优化...

隐含交叉特征

隐含交叉特征预测

工作3. “拓图谱” - 大数据知识图谱的高效表示

难点：知识图谱中的实体之间难以度量，制约了其扩展性

异质网络表示学习方法，可以将知识图谱映射到度量空间，但无法嵌入层次、上下文等图谱结构信息

“建图谱”

“用图谱”

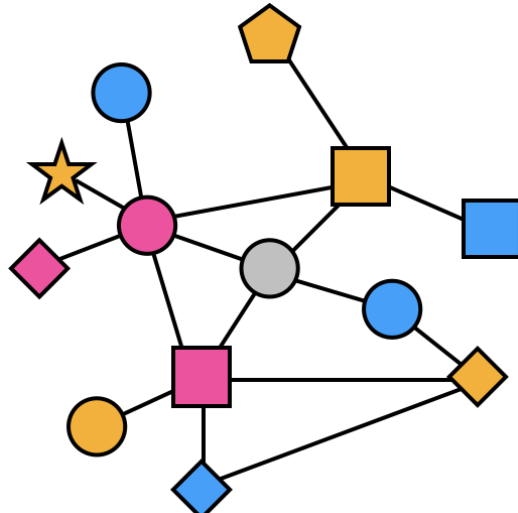
“拓图谱”

科技情报决策

军事指挥决策

其它决策场景

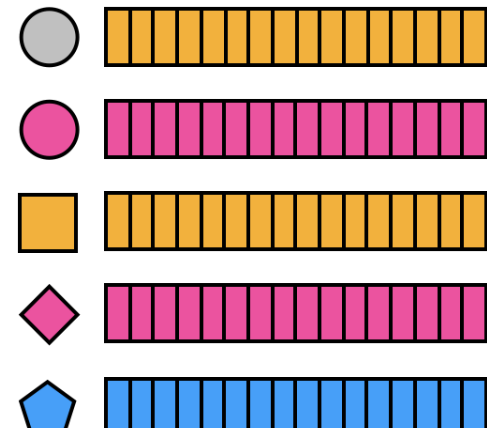
1



非度量空间

知识图谱表示学习

将知识图谱中节点表示为低维、稠密的向量



度量空间

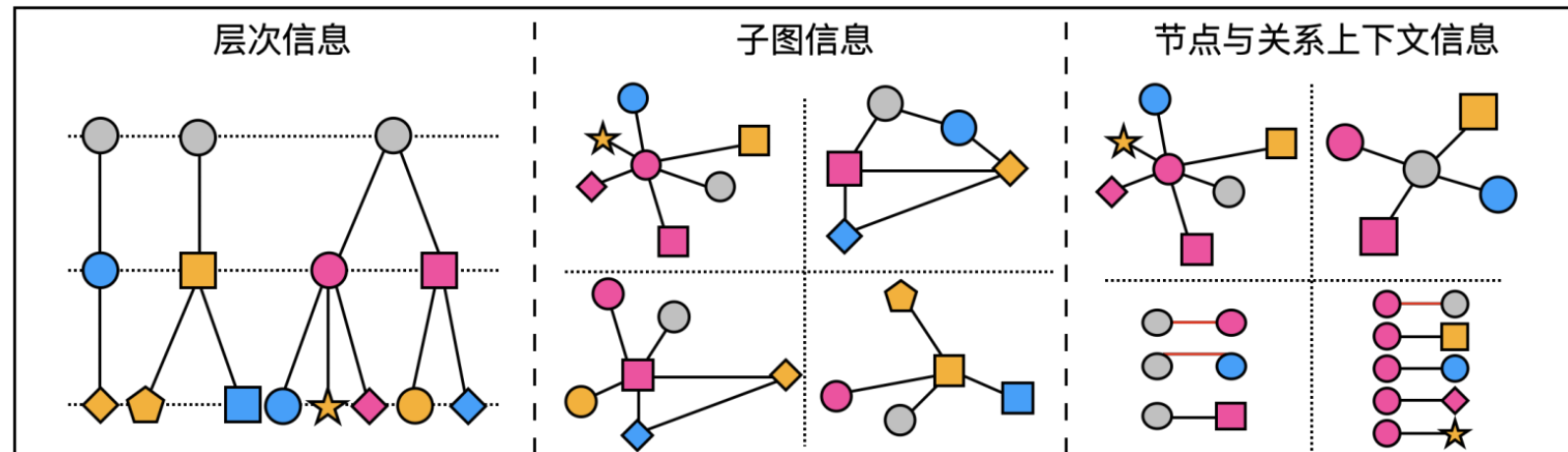
提出融合邻域信息的知识图谱表示学习方法

Input:

$$G = (N, E, \mathcal{T}, \mathcal{R})$$

Output:

$$\{f_t : N_t \rightarrow \mathbb{R}_t^{d'}\}, t \in \mathcal{T}$$



DBLP
科技情报数据

IMDB
电影娱乐数据

YELP
食品点评数据

- 对比模型: DeepWalk、Metapath2vec、RHIN、GraphSAGE、GAT、HAN、HetGNN等
- 聚类任务(+5.36%) 分类任务(+4.77%) 链接预测任务(+6.67%)

在3个基准数据的8个不同任务上，相比14个主流模型的最好效果均明显提升

模型在学术知识图谱、电影知识图谱以及餐饮点评知识图谱中进行验证，并取得了较好的效果。

TABLE II: Results of Clustering

| Dataset | DBLP | | IMDB | | YELP | |
|--------------|--------------|--------------|--------------|--------------|--------------|--------------|
| Metric | NMI | ARI | NMI | ARI | NMI | ARI |
| DeepWalk | 0.735 | 0.616 | 0.023 | 0.015 | 0.260 | 0.279 |
| Metapath2vec | 0.864 | 0.899 | 0.096 | 0.091 | 0.261 | 0.282 |
| RHINE | 0.866 | 0.902 | 0.055 | 0.036 | 0.342 | 0.351 |
| GraphSAGE | 0.865 | 0.912 | 0.128 | 0.135 | 0.396 | 0.433 |
| GAT | 0.855 | 0.897 | 0.114 | 0.113 | 0.413 | 0.457 |
| HAN | 0.900 | 0.933 | 0.136 | 0.144 | 0.413 | 0.458 |
| HetGNN | 0.891 | 0.939 | 0.131 | 0.139 | 0.403 | 0.440 |
| T-GNN | 0.916 | 0.955 | 0.145 | 0.152 | 0.420 | 0.484 |

TABLE III: Results of Multi-class Classification

| Dataset | DBLP | | IMDB | | YELP | |
|--------------|--------------|--------------|--------------|--------------|--------------|--------------|
| Metric(F1) | Micro | Macro | Micro | Macro | Micro | Macro |
| DeepWalk | 0.905 | 0.896 | 0.478 | 0.473 | 0.703 | 0.660 |
| Metapath2vec | 0.922 | 0.918 | 0.505 | 0.509 | 0.705 | 0.660 |
| RHINE | 0.927 | 0.920 | 0.449 | 0.448 | 0.726 | 0.676 |
| GraphSAGE | 0.962 | 0.943 | 0.583 | 0.584 | 0.739 | 0.748 |
| GAT | 0.967 | 0.958 | 0.543 | 0.542 | 0.744 | 0.758 |
| HAN | 0.979 | 0.971 | 0.596 | 0.598 | 0.746 | 0.759 |
| HetGNN | 0.983 | 0.979 | 0.594 | 0.593 | 0.730 | 0.753 |
| T-GNN | 0.997 | 0.996 | 0.608 | 0.609 | 0.760 | 0.772 |

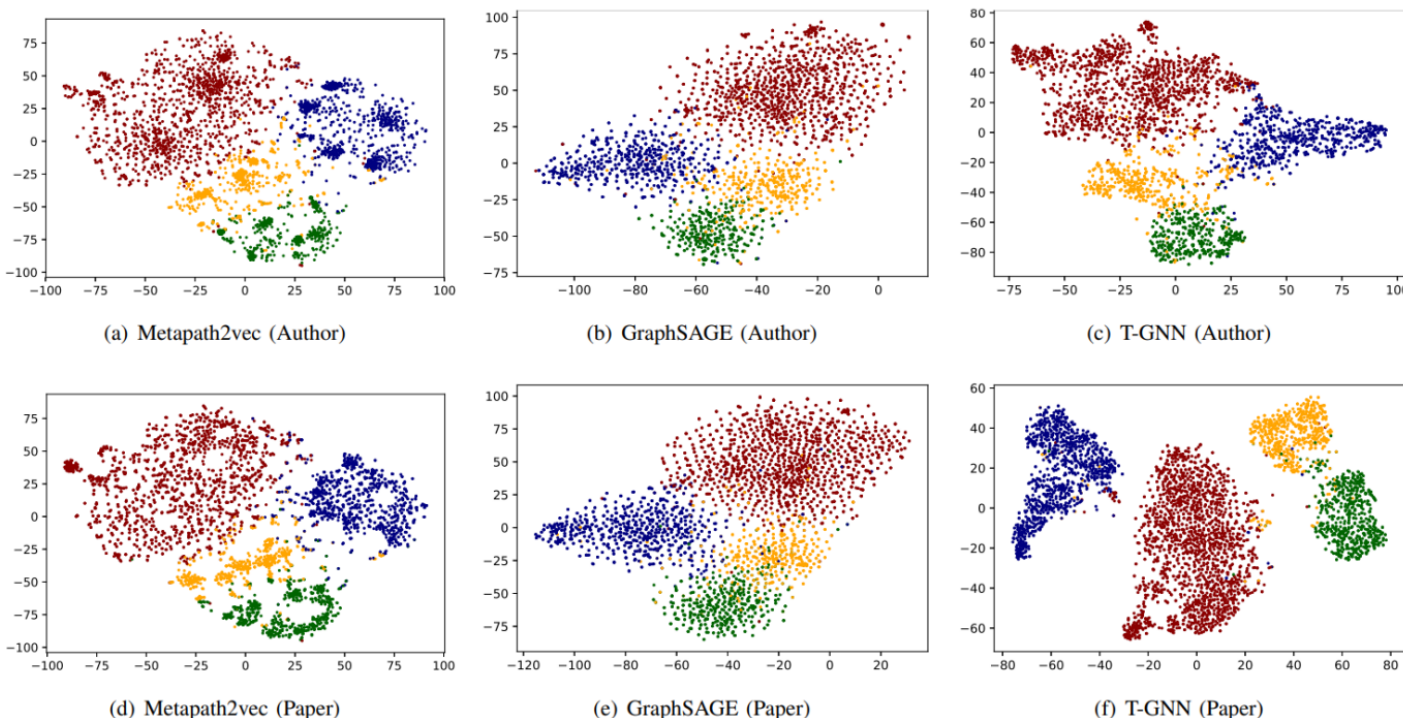


Fig. 7: t-SNE Visualization of representation distribution of authors and papers learned by three different graph representation learning methods: Metapath2vec, GraphSAGE and T-GNN. (a), (b), (c) denotes the author representations learned by these three methods and (d), (e), (f) denotes the paper representations. The four different research areas which authors and papers belong to are colored differently.

应用于大量无监督的研究人员数据上，并运用到下游多个研究人员数据挖掘任务中，例如研究人员分类，合作者推荐，相关性检索等。

TABLE III
RESULTS OF RESEARCHER CLASSIFICATION.

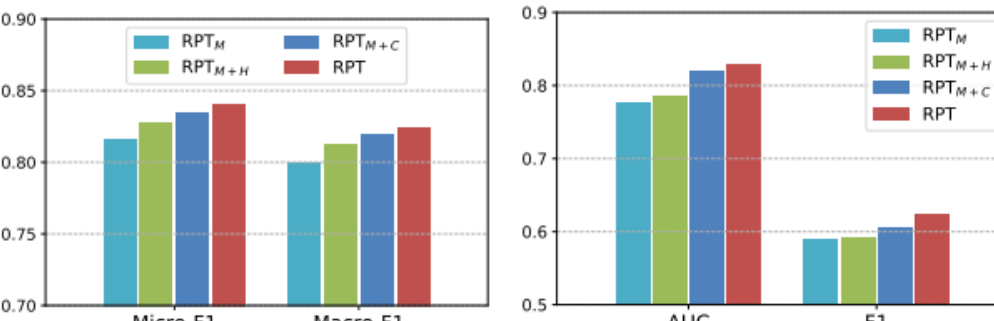
| Proportions(%) | | 10/10/80 | | 20/10/70 | | 30/10/60 | |
|----------------|--------------|--------------|--------------|--------------|--------------|--------------|--|
| Metric(F1) | Micro | Macro | Micro | Macro | Micro | Macro | |
| Doc2vec | 0.781 | 0.759 | 0.799 | 0.780 | 0.804 | 0.787 | |
| Metapath2vec | 0.760 | 0.733 | 0.769 | 0.743 | 0.784 | 0.763 | |
| AHNE | 0.790 | 0.770 | 0.811 | 0.786 | 0.810 | 0.797 | |
| BERT | 0.815 | 0.792 | 0.824 | 0.805 | 0.838 | 0.825 | |
| GraphSAGE | 0.800 | 0.777 | 0.812 | 0.795 | 0.820 | 0.808 | |
| RGCN | 0.835 | 0.818 | 0.838 | 0.823 | 0.841 | 0.825 | |
| RPT (fb) | 0.827 | 0.805 | 0.848 | 0.833 | 0.852 | 0.837 | |
| RPT (e2e) | 0.840 | 0.824 | 0.850 | 0.835 | 0.855 | 0.840 | |

TABLE IV
RESULTS OF COLLABORATING PREDICTION. 1K = 1000.

| Number of links | 1k/1k/10k | | 3k/1k/10k | | 5k/1k/10k | |
|-----------------|--------------|--------------|--------------|--------------|--------------|--------------|
| | Metric(F1) | ACC | F1 | ACC | F1 | ACC |
| Doc2vec | 0.764 | 0.240 | 0.767 | 0.310 | 0.778 | 0.363 |
| Metapath2vec | 0.778 | 0.347 | 0.794 | 0.391 | 0.796 | 0.416 |
| AHNE | 0.796 | 0.483 | 0.809 | 0.506 | 0.816 | 0.508 |
| BERT | 0.785 | 0.378 | 0.799 | 0.520 | 0.805 | 0.543 |
| GraphSAGE | 0.777 | 0.308 | 0.781 | 0.477 | 0.795 | 0.482 |
| RGCN | 0.811 | 0.502 | 0.833 | 0.608 | 0.841 | 0.640 |
| RPT (fb) | 0.805 | 0.624 | 0.827 | 0.622 | 0.828 | 0.633 |
| RPT (e2e) | 0.829 | 0.623 | 0.840 | 0.641 | 0.860 | 0.674 |

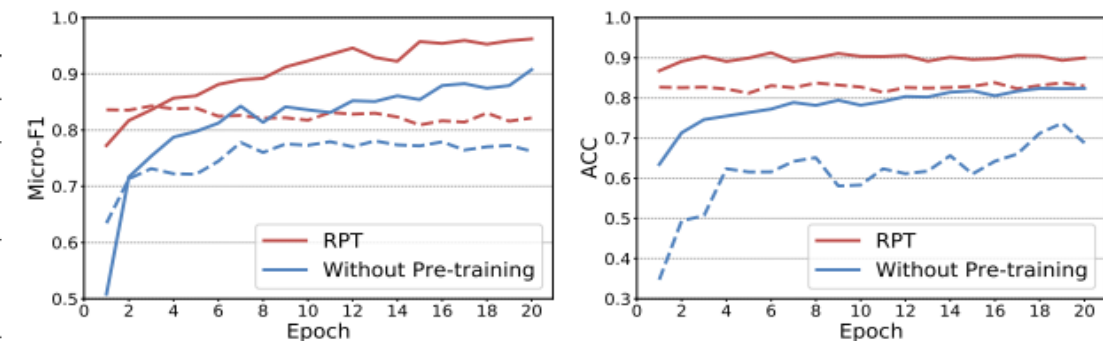
TABLE V
RESULTS OF TOP-K RESEARCHER RETRIEVAL

| K | 1 | | 5 | | 10 | | 15 | | 20 | |
|--------------|--------------|--------------|--------------|--------------|--------------|--------------|--------------|--------------|--------------|--------------|
| Metric | Pre@K | Rec@K |
| Doc2vec | 0.278 | 0.041 | 0.152 | 0.099 | 0.107 | 0.131 | 0.088 | 0.154 | 0.076 | 0.171 |
| Metapath2vec | 0.506 | 0.076 | 0.259 | 0.177 | 0.189 | 0.235 | 0.153 | 0.272 | 0.131 | 0.299 |
| ASNE | 0.514 | 0.077 | 0.288 | 0.192 | 0.198 | 0.244 | 0.159 | 0.279 | 0.134 | 0.304 |
| BERT | 0.594 | 0.089 | 0.299 | 0.205 | 0.195 | 0.246 | 0.149 | 0.272 | 0.124 | 0.291 |
| GraphSAGE | 0.722 | 0.104 | 0.389 | 0.253 | 0.252 | 0.304 | 0.191 | 0.333 | 0.158 | 0.355 |
| RGCN | 0.757 | 0.106 | 0.480 | 0.288 | 0.322 | 0.352 | 0.246 | 0.386 | 0.201 | 0.409 |
| RPT (fb) | 0.597 | 0.090 | 0.337 | 0.217 | 0.231 | 0.273 | 0.182 | 0.309 | 0.154 | 0.337 |
| RPT (e2e) | 0.787 | 0.106 | 0.525 | 0.309 | 0.357 | 0.381 | 0.275 | 0.421 | 0.226 | 0.447 |



(a) Researcher Classification

(b) Collaborating Prediction



(a) Researcher Classification

(b) Collaborating Prediction

模型在多个通用知识图谱数据集中进行验证，并在多个评价指标下取得了较好的效果。消融实验验证了两种上下文的有效性。

| Method | WN18RR | | | FB15K-237 | | | NELL995 | | | DDB14 | | |
|-------------------------|--------------|-------|--------------|--------------|--------------|--------------|--------------|--------------|--------------|--------------|--------------|--------------|
| | MRR | MR↓ | Hit@3 | MRR | MR↓ | Hit@3 | MRR | MR↓ | Hit@3 | MRR | MR↓ | Hit@3 |
| ComplEx | 0.840 | 2.053 | 0.880 | 0.924 | 1.494 | 0.970 | 0.703 | 23.040 | 0.765 | 0.953 | 1.287 | 0.968 |
| SimplE | 0.730 | 3.259 | 0.755 | 0.971 | 1.407 | <u>0.987</u> | 0.716 | 26.120 | 0.748 | 0.924 | 1.540 | 0.948 |
| RotatE | 0.799 | 2.284 | 0.823 | <u>0.970</u> | <u>1.315</u> | 0.980 | 0.729 | 23.894 | 0.756 | 0.953 | 1.281 | 0.964 |
| RGCN | 0.823 | 2.144 | 0.854 | 0.954 | 1.498 | 0.973 | 0.731 | 22.917 | 0.749 | 0.951 | 1.278 | 0.965 |
| TransE | 0.789 | 1.755 | 0.918 | 0.932 | 1.979 | 0.952 | 0.719 | 16.654 | 0.766 | 0.936 | 1.487 | 0.957 |
| \mathcal{L} -TransE | 0.813 | 1.648 | 0.933 | 0.943 | 2.281 | 0.962 | 0.793 | <u>9.325</u> | <u>0.831</u> | 0.964 | 1.184 | 0.969 |
| DistMult | <u>0.865</u> | 1.743 | 0.922 | 0.935 | 1.920 | 0.979 | 0.712 | 22.340 | 0.744 | 0.937 | 1.334 | 0.958 |
| \mathcal{L} -DistMult | 0.955 | 1.134 | 0.988 | 0.967 | 1.174 | 0.988 | 0.852 | 2.271 | 0.914 | 0.972 | 1.097 | 0.991 |

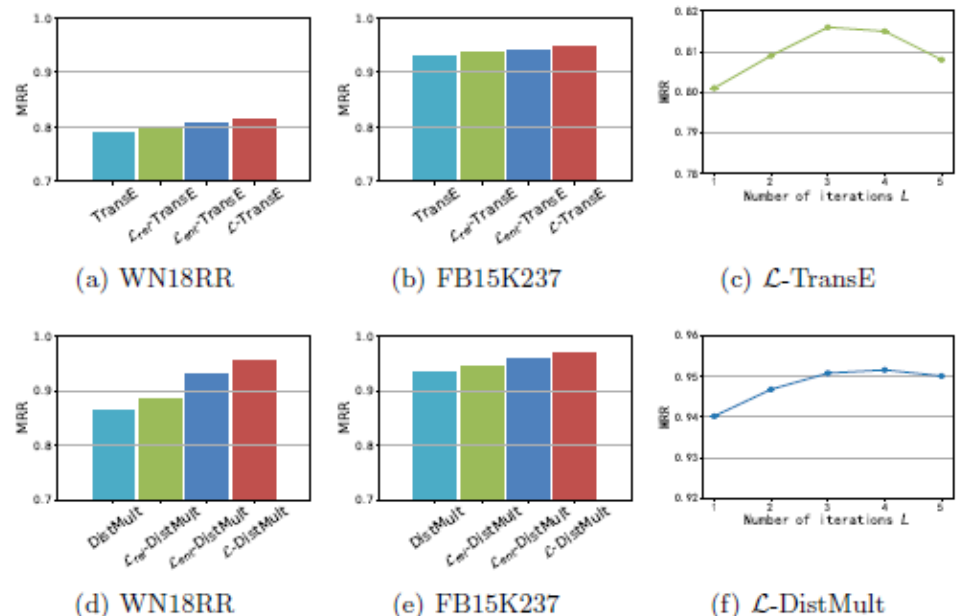


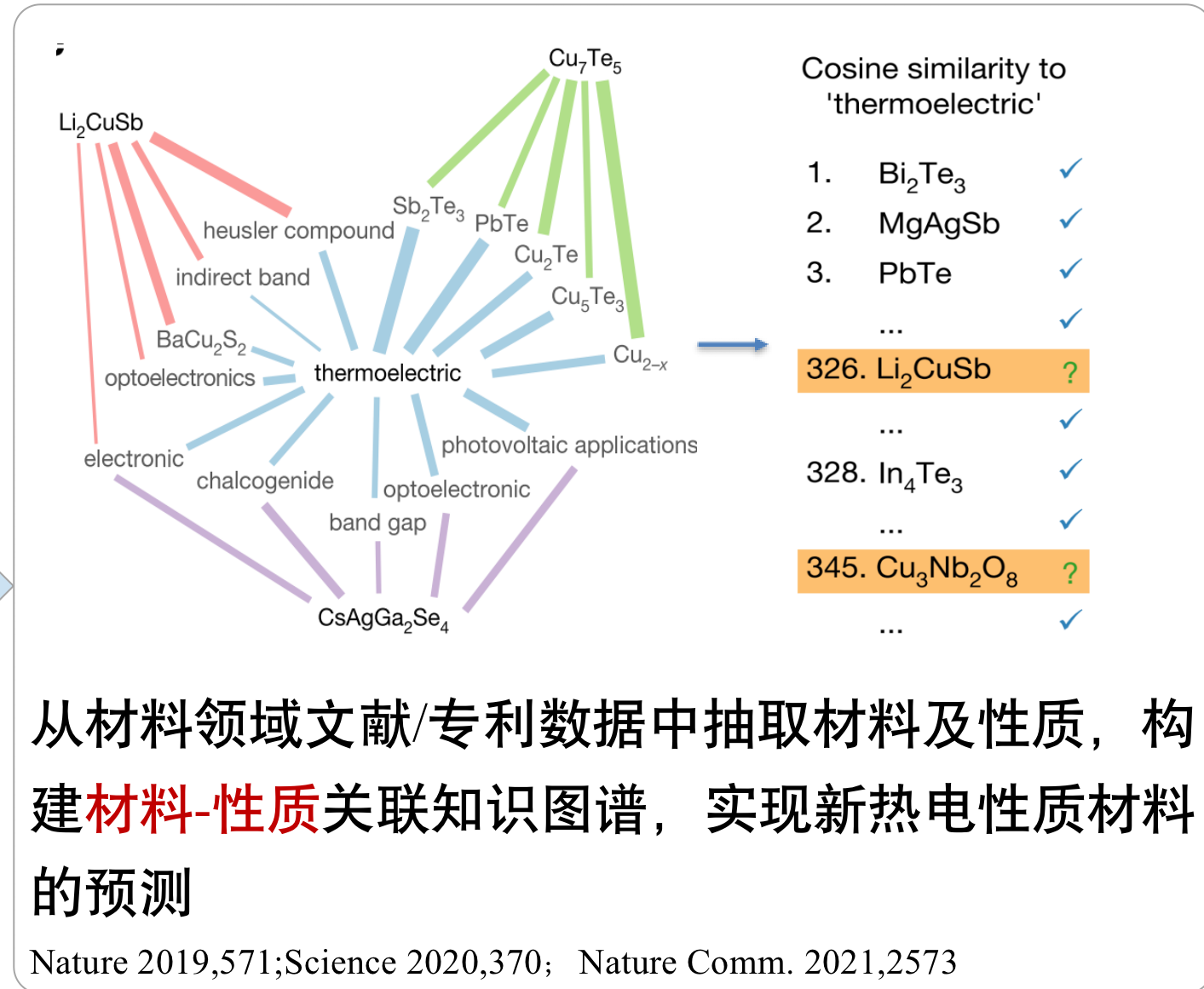
Fig. 3. The performance of model variants for (a) \mathcal{L} -TransE and (d) \mathcal{L} -DistMult on WN18RR dataset. The performance of model variants for (b) \mathcal{L} -TransE and (e) \mathcal{L} -DistMult on FB15K237 dataset. The performance of various L for (c) \mathcal{L} -TransE and (f) \mathcal{L} -DistMult on WN18RR dataset.

Knowledge Graph for Science

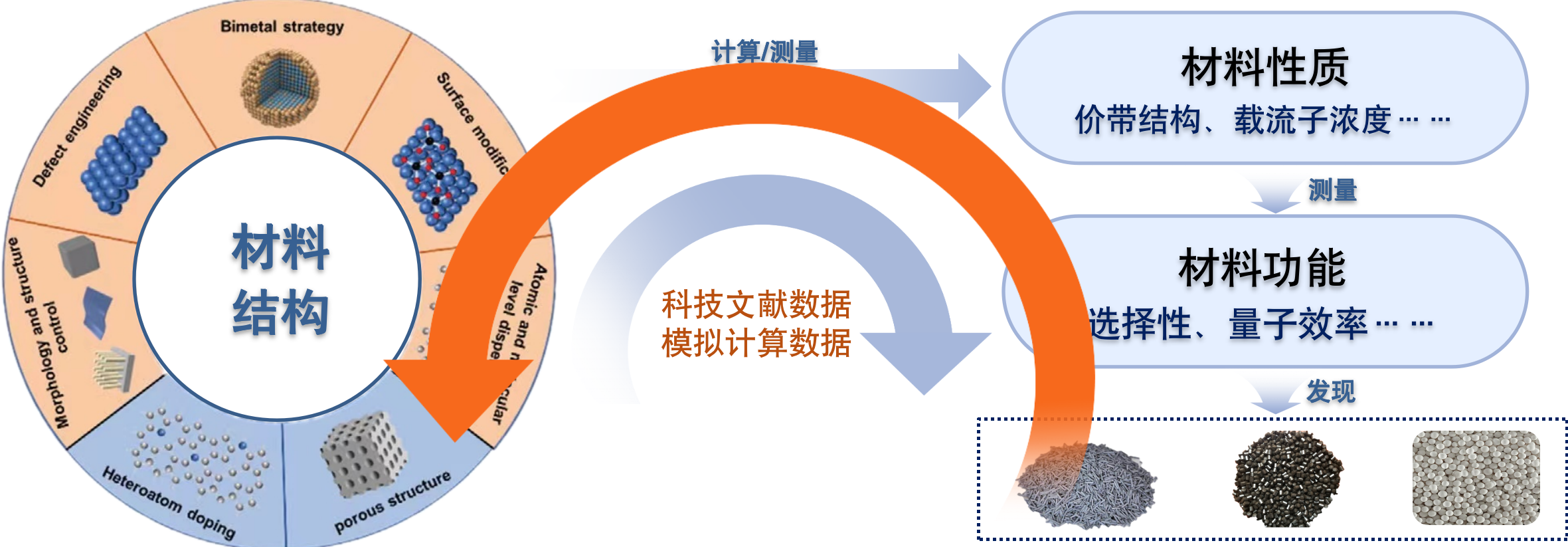
知识图谱在辅助科学发现中展现出潜力

建图谱 → 用图谱 → 拓图谱

知识图谱在解决以科技管理、
军事决策为代表的管理决策
问题上，发挥了重要作用



契机:基于领域知识图谱的光电催化材料挖掘软件

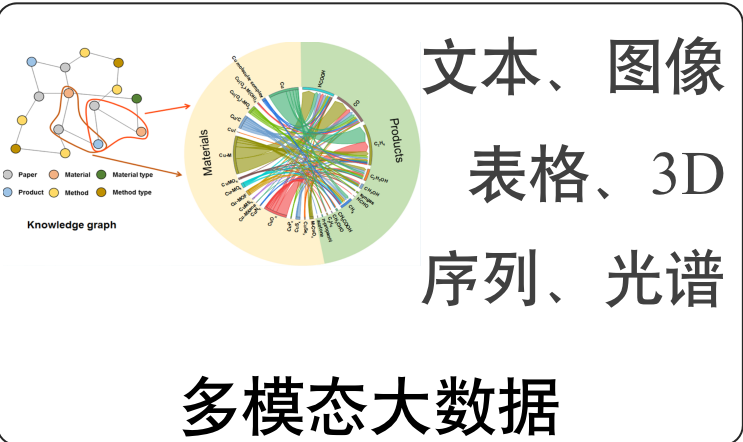


- 数据库: ICSD(无机晶体结构/德国)、MAGNDATA(磁结构/西班牙)、AFLOW(金属材料/美国)、Springer Material(通用/德国)、Material Project(电池材料/美国)
- 软件: VASP(商业/奥地利)、SM Search(商业/德国)、Materials Studio(商业/美国)、CP2K(德国)

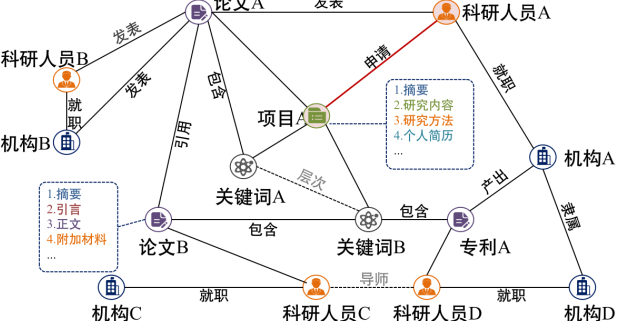
根据材料功能直接预测材料的结构

1. 大模型与领域知识图谱融合研究

辅助多模态信息抽取
(知识体系指导)



辅助复杂知识抽取
(专家在回路+Prompt)



领域大数据知识图谱

高质量知识支撑
(Fine-tuning+Prompt)

2. 利用多模态数据构建增强型知识图谱

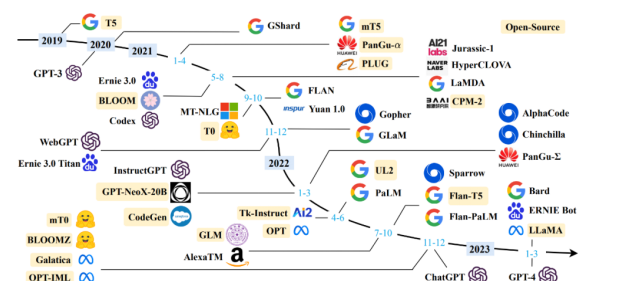


Fig. 1. A timeline of existing large language models (having a size larger than 10B) in recent years. We mark the open-source LLMs in yellow color.

大语言模型(LLM)



请批评指正，谢谢！